

## СОДАЛИТ: СПЕКТРОСКОПИЧЕСКИЕ И ТЕРМОХИМИЧЕСКИЕ ИССЛЕДОВАНИЯ

© 2023 г. Ю. Д. Гриценко<sup>a, b, \*</sup>, Е. Н. Ерёмина<sup>a, c</sup>, М. Ф. Вигасина<sup>a</sup>, С. В. Вяткин<sup>a</sup>,  
Л. П. Огородова<sup>a, \*\*</sup>, В. В. Мальцев<sup>a</sup>, Л. В. Мельчакова<sup>a</sup>

<sup>a</sup>Московский Государственный Университет им. М.В. Ломоносова, Геологический факультет,  
Ленинские Горы, 1, Москва, 119991 Россия

<sup>b</sup>Минералогический музей им. А.Е. Ферсмана РАН, Ленинский пр., 18, Москва, 119692 Россия

<sup>c</sup>КНЦ РАН, Лаборатория арктической минералогии и материаловедения,  
ул. Ферсмана, 14, Анадырь, Мурманская обл., 184209 Россия

\*e-mail: ygritsenko@rambler.ru

\*\*e-mail: logor48@mail.ru

Поступила в редакцию 20.10.2022 г.

После доработки 08.11.2022 г.

Принята к публикации 22.11.2022 г.

Проведено изучение содалита: образец I  $\text{Na}_8\text{Al}_6\text{Si}_6\text{O}_{24}\text{Cl}_2 \cdot 0.4\text{H}_2\text{O}$  из щелочного ультраосновного массива с карбонатитами Ковдор (Мурманская область, Россия) и образец II  $\text{Na}_8\text{Al}_6\text{Si}_6\text{O}_{24}\text{Cl}_2 \cdot 0.2\text{H}_2\text{O}$  из массива нефелиновых сиенитов и миаскитов Баян Кол (республика Тыва) методами термического и электронно-микрозондового анализа, порошковой рентгенографии, фотолюминесценции, ИК, КР и ЭПР спектроскопии. Методом расплавной калориметрии растворения определены энталпии образования из элементов содержащих воду образцов содалита:  $-13535 \pm 10$  (I) и  $-13503 \pm 19$  (II) кДж/моль. Получена энталпия образования содалита теоретического состава  $\text{Na}_8\text{Al}_6\text{Si}_6\text{O}_{24}\text{Cl}_2 \Delta_f H_{el}^0(298.15 \text{ K}) = -13446 \pm 11$  кДж/моль. С использованием полученных значений энталпий образования и литературных данных для  $S^0(298.15 \text{ K})$  содалита были рассчитаны стандартные энергии Гиббса образования безводного и содержащего различное количество воды содалита.

**Ключевые слова:** порошковая рентгенография, микрозондовый анализ, фотолюминесценция, ИК спектроскопия, ЭПР спектроскопия, КР спектроскопия, термический анализ, микрокалориметрия Кальве, энталпия, энергия Гиббса, содалит

DOI: 10.31857/S0016752523060043, EDN: EOJLPP

### ВВЕДЕНИЕ

Содалит  $\text{Na}_8[\text{Al}_6\text{Si}_6\text{O}_{24}]\text{Cl}_2$  относится к группе каркасных силикатов, основу структуры которых составляет алюмосиликатный каркас с полностью упорядоченным расположением атомов кремния, алюминия и кислорода; большие полости в каркасе, так называемые “содалитовые фонари”, заняты атомами, молекулами и ионами, которые связаны с каркасом ван-дер-ваальсовыми или ионными связями. Из-за такой структурной особенности содалит обладает подобно цеолитам сорбционными свойствами и способностью к ионообменным реакциям, что позволяет его использовать в качестве иммобилизационного минерального фильтра при очистке радиоактивных отходов (Vance et al., 2014), в том числе йода  $^{129}\text{I}$  (Lin et al., 2022). В качестве внекаркасных ионов содалит в результате изоморфных замещений может содержать катионы калия и кальция,

гидроксил-, сульфид- и сульфат-ионы, что обуславливает образование таких минералов группы содалита, как гидросодалит, гаюин, нозеан, лазурит и другие. Содалит кристаллизуется в кубической сингонии, пространственная группа  $P\bar{4}3n$ .

Содалит относится к минералам, разносторонне исследованным различными физико-химическими методами, такими как порошковая и монокристальная рентгенография (Peterson, 1983; Vance et al., 2014; Günther et al., 2015), спектроскопия инфракрасного поглощения (Taylor et al., 1971; Zilio, Bognato, 1984; Barnes et al., 1999; Günther et al., 2015; Škvarlova et al., 2019; Chukanov et al., 2020, 2022a, б), спектроскопия комбинационного рассеяния света (Vance et al., 2014; Dumanska-Slowik et al., 2015; Günther et al., 2015; Škvarlova et al., 2019, Chukanov et al., 2020, 2022a, б), спектроскопия электронного парамагнитного резонанса (McLaughlan, Marshall, 1970); Hodgson et al., 1967; Hassib et al.,

1977; Annersten, Hassib, 1979; Pizani et al., 1985; Cano et al., 2010; Радомская и др., 2020), люминесцентная спектроскопия (Денисов и др., 1977; Тарашан, 1978; Annersten, Hassib, 1979; Рогожин и др., 1982; Cano et al., 2010, 2011; Dumanska-Slowik et al., 2015; Norrbo et al., 2015). Термическая устойчивость содалита изучена в (Antao, Hassan, 2002).

Содалит образуется в основном в магматических породах со средним и низким содержанием кремнезема, таких как нефелиновые сиениты, фонолиты и родственные породы, а также в результате метасоматоза он образуется в известняках и мраморах в зоне их контакта с интрузивами нефелиновых сиенитов. Содалит магматического происхождения (так называемый *первичный содалит*), как показали экспериментальные исследования растворимости NaCl в алюмосиликатных расплавах (Когарко, 1977), образуется в процессе кристаллизации магмы с высоким содержанием хлора, который накапливается в остаточном расплаве, приводя к ликвации магмы и отщеплению хлорсодержащих порций от остаточной алюмосиликатной жидкой фазы, из которой впоследствии и может кристаллизоваться содалит. Постмагматический содалит (так называемый *вторичный содалит*) образуется в результате замещения им нефелина, полевого шпата, иногда эгирина. Температура образования содалитсодержащих парагенезисов лежит в интервале 500–900°C при давлении 3 кбар (Котельников и др., 1996).

Обнаружение содалита в породах имеет важное петрогенетическое значение: содержание натрия в содалите существенно превышает содержание алюминия, и наряду с вхождением щелочных металлов в пироксены и амфиболы образование этого минерала является одним из главных признаков проявления агпайтовой минерализации (Борукский, 1988).

В изучении агпайтовых пород важную роль играет термодинамическое моделирование процессов минералообразования, для которого необходимо наличие фундаментальных термодинамических констант содалита и ассоциирующих с ним минералов (энталпии и энергии Гиббса образования, энтропии, теплоемкости). Определение этих параметров является актуальной задачей комплексного физико-химического исследования содалита. К настоящему времени известна единственная работа, посвященная калориметрическому определению низкотемпературной теплоемкости и энталпии образования содалита состава  $\text{Na}_8[\text{Al}_6\text{Si}_6\text{O}_{24}]\text{Cl}_2$  (Komada et al., 1995). Авторами работы (Sharp et al., 1989) проведено изучение стабильности содалита в системе  $\text{NaAlSiO}_4-\text{NaCl}$  и оценка его энергии Гиббса  $\Delta_f G^0(298.15 \text{ K})$ .

## ЭКСПЕРИМЕНТАЛЬНАЯ ЧАСТЬ

### Характеристика образцов

Для детального изучения в настоящей работе были отобраны образцы содалита из двух массивов различных генетических типов: образец I (№ 97731 в коллекции Минералогического музея имени А.Е. Ферсмана РАН (ММФ)) из щелочно-гоультраосновного массива с карбонатитами Ковдор (Мурманская область, Россия) и образец II (ММФ № 97702) из массива нефелиновых сиенитов и миаскитов Баян Кол (республика Тыва).

Ковдорский массив располагается в юго-западной части Кольского полуострова и представляет собой сложную многофазную интрузию центрального типа, центральная зона которой сложена оливинитами, а краевая зона – щелочными породами (иiolитами и турьятами). Наиболее молодыми интрузивными породами этого массива являются нефелиновые сиениты, маломощные жилы которых секут основные породы, слагающие Ковдорский массив – оливиниты, иiolиты, щелочные пироксениты и т.д. Это массивные крупнозернистые породы серого цвета, в основном состоящие из полевого шпата, эгирина-диопсида и нефелина, который обычно в большей или меньшей степени замещён канкринитом, цеолитами и др. Главные акцессорные минералы – эвдиалит, пектолит, содалит и вишневит (Иванюк, Яковенчук, 1997).

Баянкольский массив нефелиновых сиенитов расположен в центральной части Сангиленского нагорья в 400 км к югу от г. Кызыл – столицы республики Тыва. Он сложен полевошпатовыми уртиками (нефелина 70–85%, КПШ 10–15%), ювитами, нефелиновыми сиенитами. Это лейкократовые светло-серые, зеленовато-серые крупнозернистые (до гигантозернистых) массивные породы с четко выраженным кристаллами нефелина. Основная масса содалита связана с жилами пегматитов нефелиновых сиенитов (Андреева и др., 1984).

Образец I происходит из прожилка кальцит-содалитового состава мощностью до 0.5 см в мелкозернистой флогопит-пироксен-нефелиновой породе Железного рудника (Ковдорское железорудное месторождение). Содалит образует агрегаты бесцветных кристаллов размером до 3 мм, обладающих оранжевой люминесценцией при УФ облучении, а также проявляющих фотохромизм – возникновение после УФ облучения розовой окраски, исчезающей при дневном свете. Образец II представлен среднезернистым агрегатом содалита синего цвета, визуально не проявляющим фотохромные и люминесцентные свойства, в ассоциации с калиевым полевым шпатом, альбитом, флогопитом.

### *Методы исследования*

**Химический состав** отобранных образцов был определен на сканирующем электронном микроскопе с вольфрамовым термоэмиссионным катодом “JSM-6480LV” (Jeol Ltd., Япония), оборудованном энергодисперсионным спектрометром “X-Max-50” (Oxford Instruments Ltd., GB), при ускоряющем напряжении 20 кВ, силе тока 10.05 ± 0.05 нА. Обработка данных была произведена по программе INCA (Oxford Instruments, v. 22).

**Термогравиметрический анализ** для определения содержания воды был выполнен на термической установке “NETZSCH STA 449F5” (Германия) в интервале температур от комнатной до 973 К со скоростью нагрева 10 К/мин в атмосфере аргона, массы образцов составляли 45 мг (образец I) и 54 мг (образец II). Калибровка прибора осуществлялась с использованием стандартных эталонов фирмы-изготовителя.

**Рентгенографическое исследование** было проведено на порошковом рентгеновском дифрактометре “АДП-2” (Россия) с Со-излучением, Fe-фильтром при условиях съемки: 35 кВ, 25 мА, шаг по углу 0.02°.

**КР спектроскопическое изучение** было проведено на рамановском микроскопе “EnSpectr R532” (Россия) в диапазоне 100–4000 см<sup>-1</sup> со спектральным разрешением около 6 см<sup>-1</sup>. Длина волны возбуждающего лазерного излучения равнялась 532 нм, выходная мощность луча составляла около 9 мВт, голограммическая дисперсионная решетка имела 1800 штр./мм, диаметр фокального пятна при увеличении 40× составлял 10 мкм. Спектры были получены на неориентированных образцах в режиме накопления сигнала в течение двух секунд при усреднении по 100 экспозициям. В качестве эталона при калибровке прибора использовалась пластинка из кремния (линия расцветания 521 см<sup>-1</sup>).

**ИК спектроскопическое исследование** было выполнено на Фурье-спектрометре “ФСМ-1201” (Россия) в режиме пропускания на воздухе при комнатной температуре в диапазоне волновых чисел от 400 до 4000 см<sup>-1</sup>, сигнал усреднялся по 15 сканам при разрешении 4 см<sup>-1</sup>. Образцы подготавливались в виде суспензии 4–5 мг порошка минерала в вазелиновом масле. Приготовленная суспензия наносилась на пластинку из бромида калия, которая также использовалась и в качестве образца сравнения до нанесения на нее минеральной суспензии.

**Фотолюминесцентное исследование** содалита было выполнено с использованием спектрографа “LOT-Oriel MS-257” (США) при комнатной температуре. Источником возбуждающего УФ излучения служила ксеноновая лампа мощностью 150 Вт и излучением в диапазоне 200–900 нм.

**ЭПР спектроскопическое изучение** было проведено на ЭПР спектрометре “Varian E-115” (США–Швейцария) в X-диапазоне (~9.4 ГГц) при амплитуде модуляции 0.1 мТл с частотой модуляции 100 кГц и мощностью СВЧ излучения 0.2 мВт на монокристаллических образцах в ориентировке  $H \parallel L_4$ .

**Термохимическое исследование** содалита было выполнено на высокотемпературном теплопроводящем микрокалориметре Тиана–Кальве “Setaram” (Франция) методом растворения в расплаве состава 2PbO·B<sub>2</sub>O<sub>3</sub>, полученном сплавлением стехиометрических количеств оксида свинца и борной кислоты при 1073 К. Эксперименты по растворению осуществляли на воздухе методом “броска”: фрагменты кристаллов массой 2–8 ( $\pm 2 \times 10^{-3}$ ) мг сбрасывали от комнатной температуры в калориметр с расплавом, находящимся при  $T = 973$  К; измеряемый тепловой эффект состоял из приращения энталпии образца [ $(H^0(973\text{ K}) - H^0(298.15\text{ K}))$ ] и энталпии его растворения  $\Delta_{\text{раств}} H^0(973\text{ K})$ . При проведении 6–8 экспериментов в одной порции расплава (30–35 г) соотношение растворенное вещество–растворитель рассматривалось как бесконечно разбавленный раствор с пренебрежимо малой энталпией смешения. Калибровку прибора осуществляли измерением приращения энталпии эталонного вещества – платины, проводимым в условиях экспериментов по растворению. Необходимые данные по [ $(H^0(973\text{ K}) - H^0(298.15\text{ K}))$ ] для Pt были взяты из (Robie, Hemingway, 1995).

Порошковый дифрактометр “АДП-2”, сканирующий электронный микроскоп “JSM-6480LV”, инфракрасный Фурье-спектрометр “ФСМ-1201”, рамановский микроскоп “EnSpectr R532”, термическая установка “NETZSCH STA 449F5”, ЭПР спектрометр “Varian E-115” и микрокалориметр Тиана–Кальве “Setaram” установлены на геологическом факультете МГУ имени М.В. Ломоносова; спектрограф “LOT-Oriel MS-257” – на химическом факультете МГУ им. М.В. Ломоносова.

### **ПОЛУЧЕННЫЕ РЕЗУЛЬТАТЫ**

**Химический состав** изученного содалита по результатам микрозондового анализа приведен в табл. 1. Содержание воды определено по данным термогравиметрического анализа. На кривых ТГ и ДТГ зарегистрирована потеря массы образцами в интервале ~100–700°C, что указывает на отсутствие адсорбционной воды и наличие воды в полостях каркаса – “содалитовых фонарях”. Рассчитанные на 50 зарядов формулы содалита имеют вид: Na<sub>7.95</sub>[Al<sub>6.07</sub>Si<sub>5.97</sub>O<sub>24</sub>]Cl<sub>2.04</sub>·0.40H<sub>2</sub>O (обр. I) и Na<sub>7.92</sub>[Al<sub>6.06</sub>Si<sub>5.98</sub>O<sub>24</sub>]Cl<sub>2.02</sub>·0.22H<sub>2</sub>O (обр. II), они близки друг к другу и к теоретической формуле содалита Na<sub>8</sub>Al<sub>6</sub>Si<sub>6</sub>O<sub>24</sub>Cl<sub>2</sub>.

**Рентгенодифракционные спектры** изученных образцов соответствуют спектрам содалита из баз данных ICDD (The International Centre for Diffraction Data, 2013; карточка № 01-075-0709), RRUFF (Database of Raman spectroscopy, X-ray diffraction and chemistry of minerals; карточка № R060436) и MINCRYST (Crystallographic and Crystallochemical Database for Minerals and their Structural Analogues, карточка № 4415). Рассчитанные параметры элементарной кубической ячейки содалита:  $a = 8.86909 \text{ \AA}$  (образец I) и  $8.86692 \text{ \AA}$  (образец II) близки к значению параметра  $a = 8.8690 \text{ \AA}$  для образца из электронной базы данных MINCRYST (Crystallographic and Crystallochemical Database for Minerals and their Structural Analogues, карточка № 4415).

**Спектры комбинационного рассеяния**, полученные в настоящей работе (рис. 1), согласуются со спектрами образцов содалита из Канады и Афганистана, приведенными в электронной базе данных RRUFF (Database of Raman spectroscopy, X-ray diffraction and chemistry of minerals, карточки № R040141, R060354/355, R060416, R060435/436). Отнесение полос в спектрах может быть выполнено в соответствии с работой (Hettmann et al., 2012): линия с максимумом при  $1062/1065 \text{ cm}^{-1}$  (здесь и далее – образец I/образец II) приписывается антисимметричным валентным колебаниям  $(\text{Al},\text{Si})\text{O}_4$  тетраэдров, а более интенсивная линия с максимумом при  $986/987 \text{ cm}^{-1}$  – симметричным валентным колебаниям этих тетраэдров; слабо интенсивная линия с максимумом при  $616/619 \text{ cm}^{-1}$  относится к смешанному валентному колебанию  $(\text{Al},\text{Si})\text{O}_4$  тетраэдров и связей Al–O и Si–O; наиболее интенсивная линия в спектре с частотой  $465/464 \text{ cm}^{-1}$  относится к валентным колебаниям  $\text{ClNa}_4$  тетраэдров; линия малой интенсивности с максимумом при  $413/410 \text{ cm}^{-1}$  и линия около  $295/296 \text{ cm}^{-1}$  приписываются деформационным колебаниям  $(\text{Al},\text{Si})\text{O}_4$  тетраэдров; близлежащая линия с максимумом  $264/266 \text{ cm}^{-1}$  соответствует деформационным колебаниям этих тетраэдров совместно с валентными колебаниями связей Na–O; очень слабую по интенсивности линию с частотой около  $244/240 \text{ cm}^{-1}$  связывают с деформационными колебаниями тетраэдров  $\text{ClNa}_4$ ; линия средней интенсивности при  $168/166 \text{ cm}^{-1}$  соответствует решеточным модам.

**Спектры инфракрасного поглощения** изученных образцов (рис. 2) согласуются со спектром содалита из Сев. Карелии (Россия), представленным в (Chukanov, 2014; образец № Sif21); значения волновых чисел полос поглощения в спектрах этих образцов совпадают в пределах  $2–3 \text{ cm}^{-1}$ . Широкие интенсивные полосы с максимумами поглощения при  $980/978 \text{ cm}^{-1}$  и плечом при  $1026 \text{ cm}^{-1}$  можно отнести к антисимметричным валентным

**Таблица 1.** Химический состав изученных образцов содалита (мас. %)

Компоненты	Образец I <sup>a</sup>	Образец II <sup>b</sup>	Образец III <sup>b</sup>
Na <sub>2</sub> O	24.97	24.99	25.70
K <sub>2</sub> O	Не обн.	0.01	0.04
CaO	»	Не обн.	Не обн.
FeO	Не обн.	»	0.01
Al <sub>2</sub> O <sub>3</sub>	31.52	31.46	31.20
SiO <sub>2</sub>	36.60	36.59	35.98
S <sub>tot.</sub>	Не обн.	Не обн.	0.37
Cl	7.40	7.32	7.30
H <sub>2</sub> O <sup>Г</sup>	0.73	0.40	Не опр.
Сумма	101.22	100.76	100.60

Примечания. <sup>a</sup> Среднее значение из четырех определений.

<sup>b</sup> Среднее значение из пяти определений.

<sup>Г</sup> Среднее значение из трех определений; образец использован для сравнения результатов ЭПР спектроскопического исследования.

<sup>Г</sup> По данным термогравиметрии.

колебаниям связей Si–O и Al–O в алюмосиликатном каркасе; в спектральной области от 600 до  $750 \text{ cm}^{-1}$  зарегистрированы сложные полосы, состоящие из трех компонент с максимумами поглощения при  $735/735$ ,  $712/713$  и  $667/668 \text{ cm}^{-1}$  и относящиеся к деформационным колебаниям углов O–Al–O и O–Si–O; полосы поглощения, состоящие из двух компонент с максимумами при  $467/467$  и  $436/435 \text{ cm}^{-1}$ , соответствуют так называемым решеточным модам колебаний. В высокочастотной области спектра зарегистрированы очень слабые по интенсивности полосы поглощения, соответствующие валентным колебаниям OH-групп.

Наличие в спектре образца II дополнительной полосы поглощения малой интенсивности с максимумом при  $580 \text{ cm}^{-1}$ , отсутствующей в спектре образца I, указывает согласно работе (Prokof'ev, Gordina, 2014) на присутствие в структуре образца II цеолитовых фрагментов – двойных четырехчленных колец D4R (рис. 3). Описанная полоса относится к валентным колебаниям этих колец. В упомянутой выше работе показано, что двойные четырехчленные кольца, характерные для цеолитовых структур, образуются при пониженной щелочности среды кристаллизации (концентрация NaOH 2–4 моль/л), при более высокой щелочности ( $\geq 8$  моль/л) образуются только одинарные четырехчленные кольца S4R (рис. 3), характерные для содалитовой структуры. Опираясь на результаты этой работы, можно сделать предположение, что содалит из Тувы (образец II) фор-

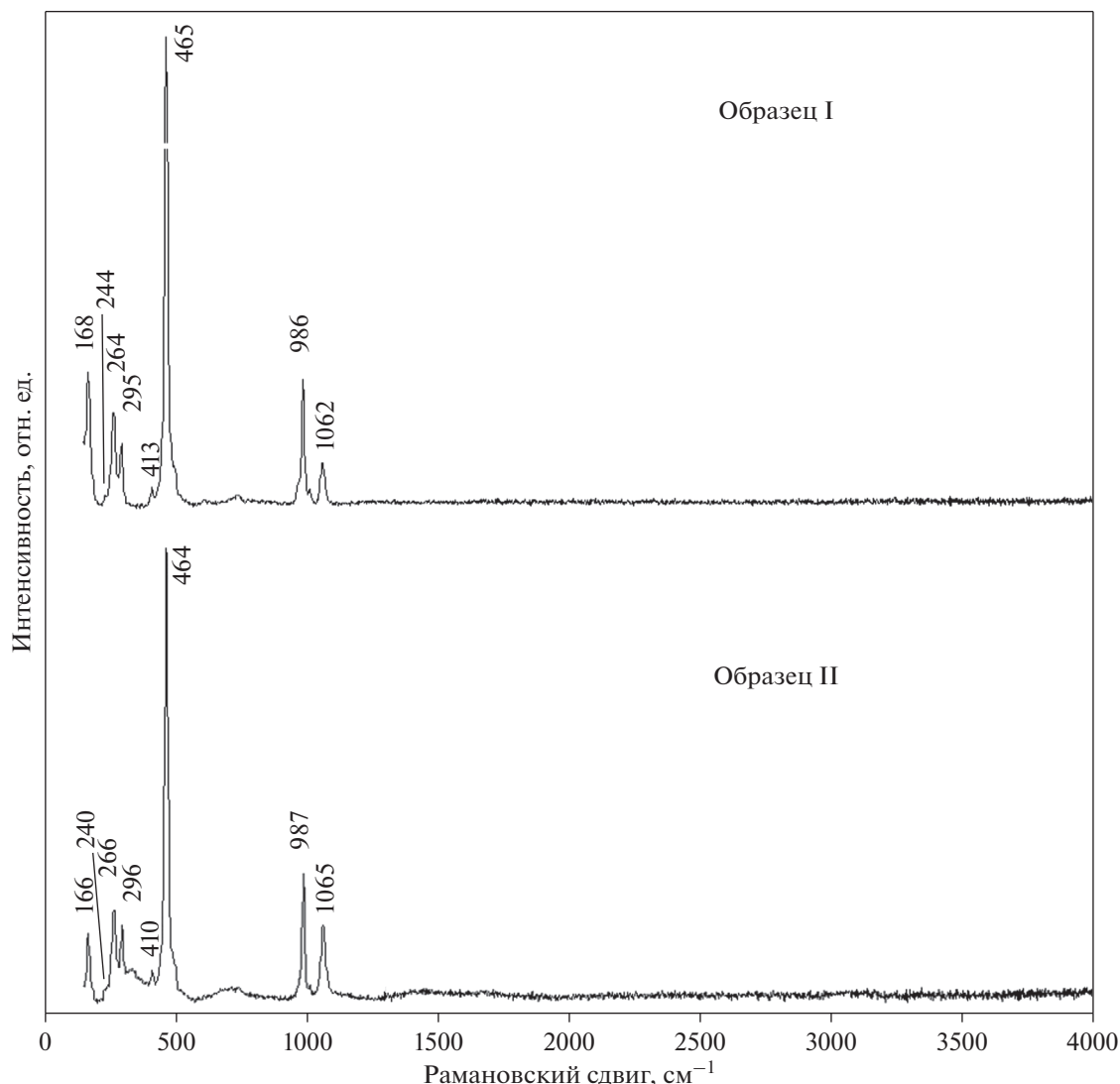


Рис. 1. Спектры комбинационного рассеяния изученных образцов содалита.

мировался в условиях пониженной щелочности по сравнению с содалитом из Ковдора (образец I).

**Фотолюминесцентная спектроскопия.** На рис. 4 представлен спектр люминесценции содалита (образец I) с максимумом излучения при 680–690 нм, что указывает на присутствие в образце радикалов  $S_2^-$ , ответственных за люминесценцию в оранжево-красной области спектра при УФ возбуждении (Таращан и др., 1970; Таращан, 1978). Отсутствие серы в химическом составе этого образца объясняется её содержанием ниже предела обнаружения метода электронно-зондового анализа. Образец II люминесцентными свойствами при УФ облучении не обладал.

**ЭПР исследование.** В спектрах образцов I и II (рис. 5) при ориентировке  $H \parallel L_4$  были зарегистрированы анизотропные сигналы с факторами  $g$  равными 2.049 и 2.004, которые отличались лишь

соотношением интенсивностей и не коррелировали с цветом образцов. При изменении геометрии эксперимента ( $H$  непараллельно  $L_4$ ) интенсивность обеих линий существенно уменьшалась. Сигнал с эффективным  $g = 2.049$  при изменении ориентировки образцов преобразовывался в тройплет (в общем положении); сигнал с  $g = 2.004$  оставался синглетным. Поскольку эти линии присутствуют в спектрах изученных нами монокристаллических образцов вне зависимости от их окраски, а также, принимая во внимание анизотропные свойства этих сигналов, можно сделать предположение об их соответствии сигналам, полученным на порошковых образцах в работе (Hodgson et al., 1967). Сигнал с фактором  $g = 2.016$  был отнесен этими авторами к парамагнитному центру  $S_2^-$ , а сигнал с  $g = 2.006$  был предположительно отнесен к дефекту на кислороде.

Кроме того, в спектре образца II синего цвета (рис. 5) был зафиксирован интенсивный изотропный сигнал с фактором  $g = 2.012$ , близким к значениям, полученным ранее в работах (Anersten, Hassib, 1979; Pizani et al., 1985):  $g = 2.0112$  и  $g = 2.011$  соответственно. Авторы (Anersten, Hassib, 1979) связывают этот сигнал ЭПР спектра и линию при 580 нм, зарегистрированную ими в спектре поглощения в видимой области, обусловливающую синюю окраску, с присутствием коллоидных частиц металлического натрия, однако авторы (Pizani et al., 1985) не разделяют эту точку зрения, предполагая связь этого ЭПР сигнала с интерстициальным кислородом.

В работе (Hodgson et al., 1967) была установлена корреляция насыщенности розовой окраски содалита с интенсивностью 13 эквидистантных ЭПР линий ( $g = 2.002$ , константа CCTB – 30.6 Гц), представляющих собой результат взаимодействия электрона, захваченного вакансией хлора, с четырьмя ядрами натрия, окружающими эту вакансию. Теоретическое соотношение интенсивностей линий для такого центра – 1 : 4 : 10 : 20 : 31 : 40 : 44 : 40 : 31 : 20 : 10 : 4 : 1. Эти авторы наблюдали такой многокомпонентный спектр для всех образцов содалита, проявляющих фотохромизм. Однако, в полученном нами ЭПР спектре образца I, обладающего фотохромизмом, такой сигнал не был зафиксирован. В связи с этим было проведено изучение образца содалита из Малобыстринского месторождения Слюдянского района Иркутской области (образец III), также обладающего люминесценцией оранжево-красного цвета, но с более высоким содержанием серы, установленным в его составе по данным химического анализа (табл. 1), и гораздо более сильным фотохромным эффектом.

Исследование образца III было выполнено с учетом результатов работы (Hodgson et al., 1967), в которой авторы применили УФ облучение непосредственно в резонаторе ЭПР спектрометра. В нашем эксперименте проводилось УФ облучение (254 нм) в течение получаса перед ЭПР измерениями. В результате нам удалось зафиксировать только центральную наиболее интенсивную часть многокомпонентного сигнала (рис. 5). Полученные нами параметры сигнала ( $g = 2.002$ , константа CCTB = 30.5 Гц) хорошо коррелируют с результатами вышеупомянутой работы, в которой эффект фотохромизма связывается с присутствием в составе содалита ионов  $S_2^{2-}$ , которым отведена роль источников электронов, временно захватываемых вакансиями ионов хлора под действием УФ облучения при образовании  $F$ -центров. Таким образом, наличие серы в составе образца III в форме  $S_2^{2-}$ , что подтверждено характерной люминесценцией, согласуется с предложенной в (Hodgson et al., 1967) схемой образования парамаг-

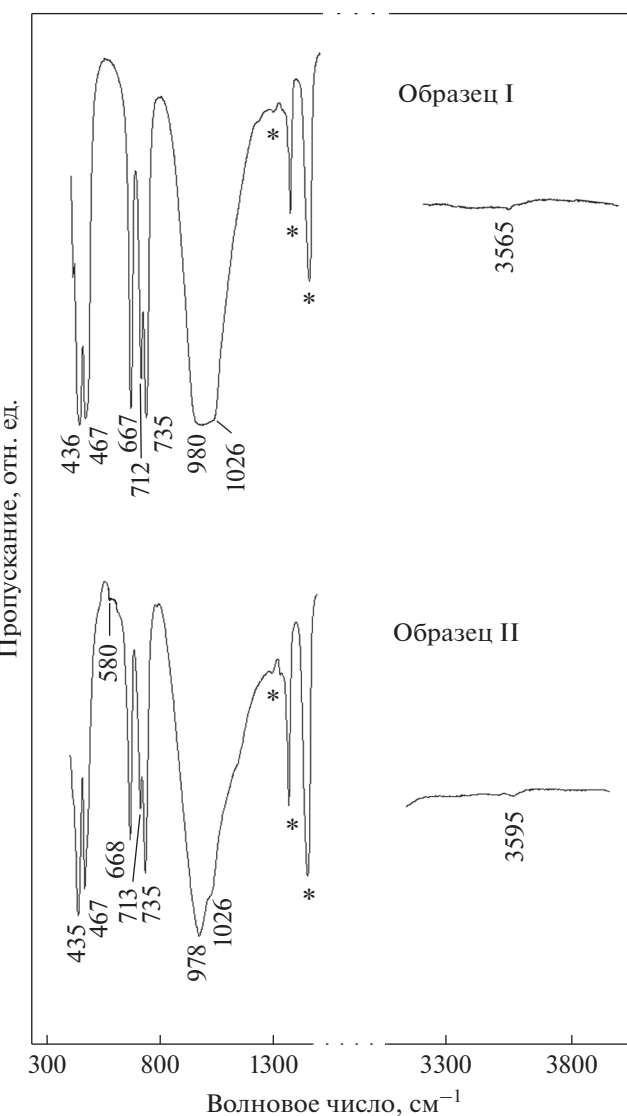


Рис. 2. Спектры инфракрасного поглощения изученных образцов содалита (снято в режиме пропускания, \* – полосы поглощения вазелинового масла).

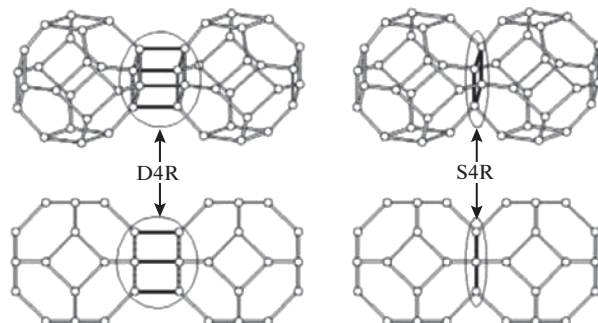


Рис. 3. Двойное четырехчленное кольцо  $D4R$ , характерное для цеолитовой структуры; одинарное четырехчленное кольцо  $S4R$ , характерное для содалитовой структуры (Prokof'ev, Gordina, 2014).

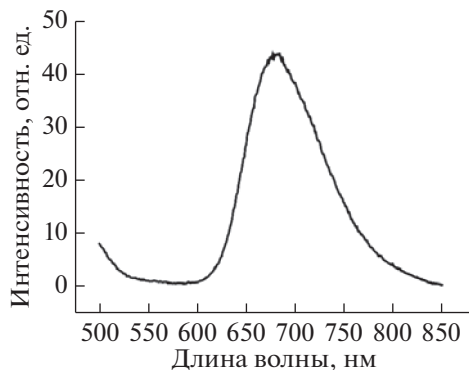


Рис. 4. Спектр фотолюминесценции изученного образца содалита (образец I).

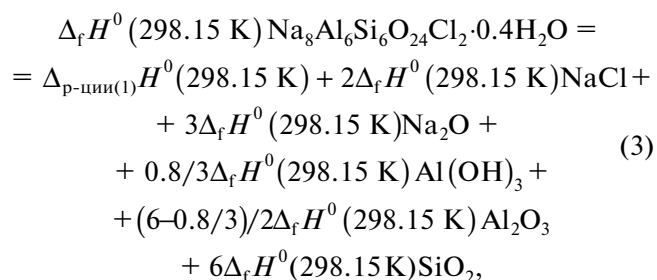
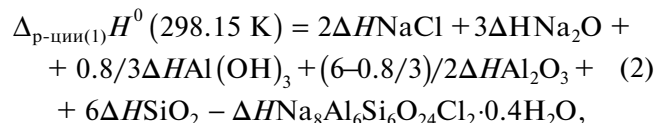
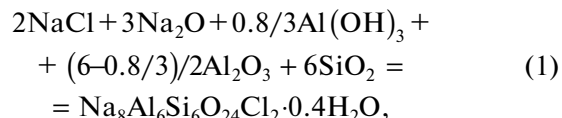
нитных центров в содалитах, ответственных за эффект фотохромизма. На основании проведенных нами исследований можно сделать вывод об аналогичном механизме фотохромизма в образце I.

**Энталпия образования из элементов.** Расчеты термодинамических констант были проведены для упрощенных формул изученных образцов и теоретической формулы содалита. Получены следующие средние из 8 определений значения величины [ $H^0(973\text{ K}) - H^0(298.15\text{ K}) + \Delta_{\text{раств}}H^0(973\text{ K})$ ]:  $1267 \pm 6\text{ Дж/г} = 1237 \pm 6\text{ кДж/моль}$  ( $M = 976.43\text{ г/моль}$ ) для образца I состава  $\text{Na}_8\text{Al}_6\text{Si}_6\text{O}_{24}\text{Cl}_2 \cdot 0.4\text{H}_2\text{O}$  и  $1294 \pm 17\text{ Дж/г} = 1259 \pm 17\text{ кДж/моль}$  ( $M = 972.82\text{ г/моль}$ ) из 9 определений для образца II состава  $\text{Na}_8\text{Al}_6\text{Si}_6\text{O}_{24}\text{Cl}_2 \cdot 0.2\text{H}_2\text{O}$ ; погрешности рассчитаны с вероятностью 95%.

На основании полученных калориметрических данных для изученных образцов содалита и

термохимического цикла, включающего растворение минерала и составляющих его компонентов, были рассчитаны энталпии образования содалита, содержащего разное количество воды цеолитного типа. Расчет проводился по реакциям (1) и (4) и уравнениям (2), (3), (5) и (6).

Для образца I:



для образца II:

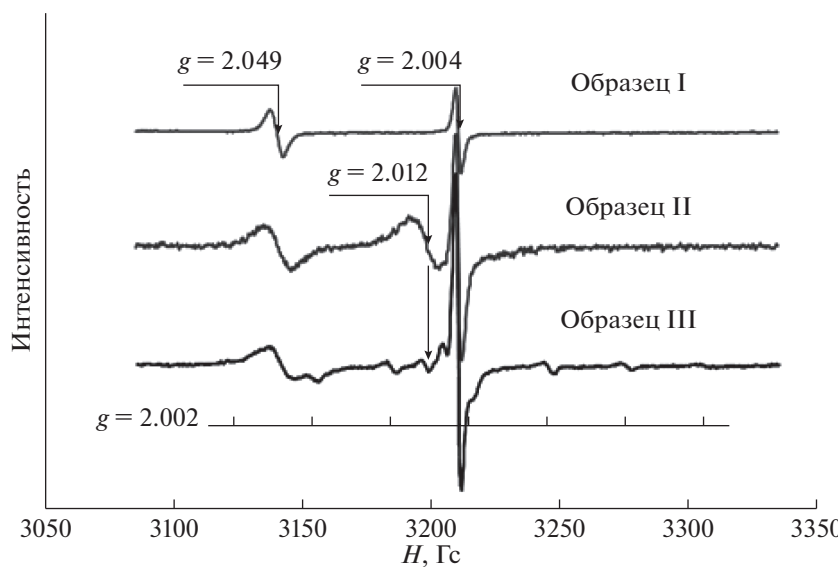
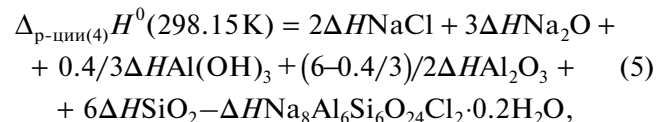
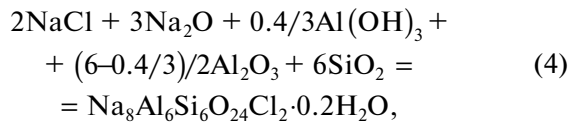


Рис. 5. ЭПР спектры изученных образцов содалита, снятые при ориентировке  $H \parallel L_4$ .

**Таблица 2.** Термохимические данные, использованные в расчетах энталпии образования содалита (кДж/моль)

Компонент	$H^0(973\text{ K}) - H^0(298.15\text{ K}) + \Delta_{\text{раст}}H^0(973\text{ K})$	$-\Delta_fH^0(298.15\text{ K})^a$
Na <sub>2</sub> O(к.)	$-111.8 \pm 0.8^b$	$414.8 \pm 0.3$
Al <sub>2</sub> O <sub>3</sub> (корунд)	$107.38 \pm 0.59^b$	$1675.7 \pm 1.3$
SiO <sub>2</sub> (кварц)	$39.43 \pm 0.21^c$	$910.7 \pm 1.0$
NaCl(галит)	$65.19 \pm 1.42^d$	$411.3 \pm 0.1$
Al(OH) <sub>3</sub> (гиббсит)	$172.6 \pm 1.9^e$	$1293.1 \pm 1.2$

Примечания. <sup>a</sup> Справочные данные (Robie, Hemingway, 1995).

<sup>b</sup> По данным (Kiseleva et al., 2001).

<sup>c-d</sup> Рассчитано с использованием справочных данных по  $[H^0(973\text{ K}) - H^0(298.15\text{ K})]$  (Robie, Hemingway, 1995) и экспериментальных данных по растворению  $\Delta_{\text{раст}}H^0(973\text{ K})$ : <sup>b</sup> (Ogorodova et al., 2003), <sup>c</sup> (Киселева и др., 1979), <sup>d</sup> (Киселева и др., 1990).

<sup>e</sup> По данным (Огородова и др., 2011).

**Таблица 3.** Термодинамические свойства содалита, полученные в настоящей работе

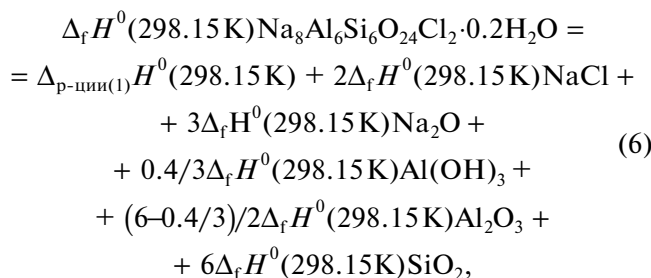
Состав содалита Молекулярная масса, г/моль	$-\Delta_fH^0(298.15\text{ K})^a$ , кДж/моль	$S^0(298.15\text{ K})^b$ , Дж/(моль К)	$-\Delta_fS^0(298.15\text{ K})^b$ , Дж/(моль К)	$-\Delta_fG^0(298.15\text{ K})^c$ , кДж/моль
Na <sub>8</sub> Al <sub>6</sub> Si <sub>6</sub> O <sub>24</sub> Cl <sub>2</sub> ·0.4H <sub>2</sub> O <i>M</i> = 976.43	$13536 \pm 10$	$864 \pm 4$	$2515 \pm 4$	$12786 \pm 10$
Na <sub>8</sub> Al <sub>6</sub> Si <sub>6</sub> O <sub>24</sub> Cl <sub>2</sub> ·0.2H <sub>2</sub> O <i>M</i> = 972.82	$13503 \pm 19$	$856 \pm 4$	$2523 \pm 4$	$12751 \pm 19$
Na <sub>8</sub> Al <sub>6</sub> Si <sub>6</sub> O <sub>24</sub> Cl <sub>2</sub> <i>M</i> = 969.22	$13446 \pm 11$	$848 \pm 4$	$2531 \pm 4$	$12691 \pm 11$

<sup>a</sup> Получено методом расплавной калориметрии растворения.

<sup>b</sup> Данные (Komada et al., 1995).

<sup>c</sup> Рассчитано с использованием данных по  $S^0(298.15\text{ K})$  для элементов, входящих в состав содалита (Robie, Hemingway, 1995).

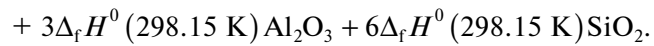
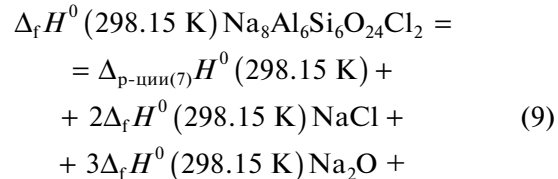
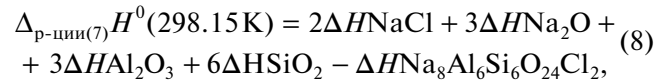
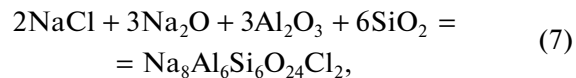
<sup>d</sup> Рассчитано по формуле  $\Delta_fG^0 = \Delta_fH^0 - T\Delta_fS^0$ .



где  $\Delta H = [H^0(973\text{ K}) - H^0(298.15\text{ K}) + \Delta_{\text{раст}}H^0(973\text{ K})]$  – термохимические данные для изученных образцов содалита, оксидов натрия, алюминия, кремния, хлорида натрия и гидроксида алюминия (табл. 2), необходимые для расчетов значения  $\Delta_fH^0(298.15\text{ K})$  компонентов этой реакции также приведены в табл. 2. Рассчитанные значения энталпий образования изученных природных образцов содалита представлены в табл. 3.

На основании полученных экспериментальных данных по растворению образцов содалита была рассчитана энталпия образования содалита теоретического состава Na<sub>8</sub>Al<sub>6</sub>Si<sub>6</sub>O<sub>24</sub>Cl<sub>2</sub>, с этой целью результаты калориметрических измерений

были пересчитаны на его молекулярную массу (*M* = 969.22 г/моль) и использованы в расчете по реакции (7) и уравнениям (8) и (9).



Необходимые термохимические данные для участников реакции (7) взяты из табл. 2. Рассчитанные значения энталпии образования содалита теоретического состава из элементов ( $-13433 \pm 10$  и  $-13459 \pm 19$  кДж/моль, полученные с использованием калориметрических данных для образцов I и

II соответственно) согласуются в пределах погрешностей между собой и с результатами работы (Komada et al., 1995). В этой работе величина  $\Delta_f H^0(298.15 \text{ K}) = -13457.0 \pm 15.8 \text{ кДж/моль}$  была получена также методом высокотемпературной расплавной калориметрии растворения для природного образца содалита (гора Сент-Илер, Квебек, Канада) на основании термохимического цикла с участием отличных от использованных в настоящей работе веществ, что подтверждает надежность и достоверность результатов наших исследований. Среднее значение из полученных нами величин  $\Delta_f H^0(298.15 \text{ K})$  представлено в табл. 3.

**Энергия Гиббса образования из элементов.** Значение  $\Delta_f G^0(298.15 \text{ K})$  содалита теоретического состава (табл. 3) было рассчитано с использованием полученной в настоящей работе величины энталпии образования и литературных данных по стандартной энтропии, определенной в (Komada et al., 1995) на основании измеренной в интервале 15–350 К низкотемпературной теплоемкости природного образца. Полученное значение энергии Гиббса образования содалита ( $-12691 \pm 11 \text{ кДж/моль}$ ) согласуется с оцененной и приведенной без погрешности в работе (Sharp et al., 1989) величиной  $\Delta_f G^0(298.15 \text{ K}) = -12697 \text{ кДж/моль}$ . Значения свободной энергии образования природных содержащих воду образцов содалита (табл. 3) были рассчитаны с использованием значений  $S^0(298.15 \text{ K})$  из данных (Komada et al., 1995) с учетом энтропийных вкладов, соответствующих содержанию воды в образцах по данным из (Наумов и др., 1971).

## ЗАКЛЮЧЕНИЕ

Эффект фотохромизма содалита может рассматриваться как признак наличия  $F$ -центров, а следовательно присутствия серы в форме радикала  $S_2^-$  в составе минерала, причем эффект фотохромизма визуально фиксируется даже при экстремально малых количествах серы и  $F$ -центров в образце, которые не фиксируются прецизионными методами лабораторных исследований.

Полученные в настоящем исследовании фундаментальные термодинамические свойства безводного и содержащего воду содалита могут быть рекомендованы для пополнения базы термодинамических констант минералов и использованы при моделировании процессов минералообразования в магматических агпайтовых щелочных и метасоматических породах.

## СПИСОК ЛИТЕРАТУРЫ

Андреева Е.Д., Кононова В.А., Свешникова Е.В., Яшина Р.М. (1984) Магматические горные породы. Том 2. Щелочные породы. М.: Наука, 415 с.

- Боруцкий Б.Е. (1988) *Породообразующие минералы высокощелочных комплексов*. М.: Наука, 212 с.
- Денисов Р.А., Денкс В.П., Дудельзак А.Е., Осминин В.С., Руус Т.В. (1977) Оптически стираемое окрашивание и люминесценция содалитов. *ЖПС*. 27(1), 149–154.
- Иванюк Г.Ю., Яковенчук В.Н. (1997) Минералы Ковдора. Апатиты: Кольский НЦ РАН. 118 с.
- Киселева И.А., Огородова Л.П., Топор Н.Д., Чигарева О.Г. (1979) Термохимическое исследование системы  $\text{CaO}-\text{MgO}-\text{SiO}_2$ . *Геохимия*. (12), 1811–1825.
- Киселева И.А., Огородова Л.П., Сидоров Ю.И., Ходаковский И.Л. (1990) Термодинамические свойства щелочных полевых шпатов. *Геохимия*. (3), 406–413.
- Когарко Л.Н. (1977) *Проблемы генезиса агпайтовых магм*. М.: Наука, 294 с.
- Котельников А.Р., Жорняк Л.В., Котельникова З.А. (1996) Распределение серы между содалитом и гидротермальным раствором. *Геохимия*. (11), 1082–1087.
- Наумов Г.Б., Рыженко Б.Н., Ходаковский И.Л. (1971) *Справочник термодинамических величин (для геологов)*. М.: Атомиздат. 239 с.
- Огородова Л.П., Киселева И.А., Мельчакова Л.В., Вигасина М.Ф., Спиридонов Э.М. (2011) Калориметрическое определение энталпии образования пирофиллита. *ЖФХ*. (9), 1609–1611.
- Радомская Т.А., Канева Е.В., Шендрик Р.Ю., Суворова Л.Ф., Владыкин Н.В. (2020) Серосодержащий содалит – гакманит в щелочных пегматитах массива Инагли (Алданский щит): кристаллохимические особенности, фотохромизм и люминесценция. *Записки Российской минералогического общества*. 149(2), 42–54.
- Рогожин А.А., Горобец Б.С., Рябенко С.В. (1982) О природе люминесценции галоидных и галоидсодержащих минералов. *Минералогический журнал*. 4(2), 45–52.
- Таращан А.Н. (1978) Люминесценция минералов. Киев: Наукова думка, 296 с.
- Таращан А.Н., Платонов А.Н., Бершов Л.В., Беличенко В.П. (1970) Конституция и свойства минералов. Киев: Наукова думка. Вып. 4, 63–65.
- Annersten H., Hassib A. (1979) Blue sodalite. *Can. Mineral.* 17, 39–46.
- Antao S., Hassan I. (2002) Thermal analyses of sodalite, tugtupite, danalite and helvite. *Can. Mineral.* 40, 163–172.
- Barnes M.C., Addai-Mensah J., Gerson A.R. (1999) A methodology for quantifying sodalite and cancrinite phase mixtures and the kinetics of the sodalite to cancrinite phase transformation. *Micropor. Mesopor. Mater.* 31, 303–319.
- Cano N.F., Blak A.R., Watanabe S. (2010) Correlation between electron paramagnetic resonance and thermoluminescence in natural sodalite. *Phys. Chem. Miner.* 37, 57–64.
- Cano N.F., Blak A.R., Ayala-Arenas J.S., Watanabe S. (2011) Mechanisms of TL for production of the 230°C peak in natural sodalite. *J. Lumin.* 131, 165–168.
- Chukanov N.V., Vigasina M.F., Zubkova N.V., Pekov I.V., Schäfer C., Kasatkin A.V., Yapaskurt V.O., Pushcharovsky D.Yu. (2020) Extra-framework content in sodalite-group minerals: complexity and new aspects of its study using infrared and Raman spectroscopy. *Miner.* 10, № 363.
- Chukanov N.V., Shendrik R.Yu., Vigasina M.F., Pekov I.V., Sapozhnikov A.N., Shcherbakov V.D., Varlamov D.A.

- (2022a) Crystal chemistry, isomorphism, and thermal conversions of extra-framework components in sodalite-group minerals. *Miner.* **12**, № 887.
- Chukanov N.V., Zubkova N.V., Pekov I.V., Shendrik R.Yu., Varlamov D.A., Vigasina M.F., Belakovskiy D. I., Britvin S.N., Yapaskurt V.O., Pushcharovsky D.Yu. (2022b) Sapozhnikovite,  $\text{Na}_8(\text{Al}_6\text{Si}_6\text{O}_{24})(\text{HS})_2$ , a new sodalite-group mineral from the Lovozero alkaline massif, Kola Peninsula. *Mineral. Magaz.* **86**, 49–59.
- Dumańska-Słowik M., Heflik W., Pieczka A., Sikorska M. (2015) The transformation of nepheline and albite into sodalite in pegmatitic mariupolite of Oktiabrski Massif (SE Ukraine). *Spectrachim. Acta. Part A: Mol. and Biomol. Spectr.* **150**, 837–845.
- Günther C., Richter H., Voigt I., Michaelis A., Tzscheutschler H., Krause-Rehberg R., Serra J.M. (2015) Synthesis and characterization of a sulfur containing hydroxyl sodalite without sulfur radicals. *Micropor. Mesopor. Mater.* **214**, 1–7.
- Hassib A., Beckman O., Annersten H. (1977) Photochromic properties of natural sodalite. *J. Phys. D: Appl. Phys.* **10**, 771–777.
- Hettmann K., Wenzel T., Marks M., Markl G. (2012) The sulfur speciation in S-bearing minerals: New constraints by combination of electron microprobe analysis and DFT calculations with special reference to sodalite-group minerals. *Am. Mineral.* **97**, 1653–1661.
- Hodgson W.G., Brinen J.S., Williams E.F. (1967) Electron spin resonance investigation of photochromic sodalites. *J. Chem. Physics.* **47**(10), 3719–3723.
- Kiseleva I.A., Navrotsky A., Belitsky I.A., Fursenko B.A. (2001) Thermochemical study of calcium zeolites – heulandite and stilbite. *Am. Mineral.* **86**, 448–455.
- Komada N., Westrum E.F., Hemingway B.S., Zolotov M.Yu., Semenov Yu.V., Khodakovsky I.L., Anovitz L.M. (1995) Thermodynamic properties of sodalite at temperatures from 15 K to 1000 K. *J. Chem. Thermodyn.* **27**, 1119–1132.
- Lin S., Wang M., Hao Ya., Zhang K., Li Yu., Yang D. (2022) Synthesis, structure and thermal stability of iodine-contained sodalities  $\text{Na}_8(\text{AlSiO}_4)_6\text{Cl}_{2-x}\text{I}_x$  ( $x = 0–2$ ) for  $^{129}\text{I}$  immobilization. *J. Alloys Compd.* **908**, № 164617.
- McLaughlan S.D., Marshall D.J. (1970) Paramagnetic resonance of F-type centers in photochromic sodalites. *Phys. Lett.* **32A**, 343–344.
- Norrbo I., Gluchowski P., Paturi P., Sinkkonen J., Lassusaari M. (2015) Persistent luminescence of tenebrescent  $\text{Na}_8\text{Al}_6\text{Si}_6\text{O}_{24}(\text{Cl},\text{S})_2$ . *Inorg. Chem.* **54**, 7717–7724.
- Ogorodova L.P., Melchakova L.V., Kiseleva I.A., Belitsky I.A. (2003) Thermochemical study of natural pollucite. *Thermochim. Acta.* **403**, 251–256.
- Peterson R.C. (1983) The structure of hackmanite, a variety of sodalite, from Mont St-Hilaire, Quebec. *Can. Mineral.* **21**, 549–552.
- Pizani P.S., Terrile M.C., Farach H.A., Poole C.R. (1985) Color centers in sodalite. *Am. Mineral.* **70**, 1186–1192.
- Prokof'ev V.Yu., Gordina N.E. (2014) Preparation of granulated LTA and SOD zeolites from mechanically activated mixtures of metakaolin and sodium hydroxide. *Appl. Clay Sci.* **101**, 44–51.
- Robie R.A., Hemingway B.S. (1995) *Thermodynamic properties of minerals and related substances at 298.15 K and 1 bar (10<sup>5</sup> pascals) pressure and at higher temperatures*. U S Geol. Surv. Bull. № 2131. 461 p.
- Sharp Z.D., Helffrich G.R., Bohlen S.R., Essene E.J. (1989) The stability sodalite in the system  $\text{NaAlSiO}_4$ – $\text{NaCl}$ . *Geochim. Cosmochim. Acta* **53**, 1943–1954.
- Škvarlová A., Kanuchová M., Kozáková L., Valušová E., Holub M. (2019) Preparation and characterization of ultramarine blue pigments from fly ash by using the X-ray photoelectron spectroscopy (XPS) for the determination of chemical states of sulphur in chromophores. *Micropor. Mesopor. Mater.* **284**, 283–288.
- Taylor M.J., Marshall D.J., Evans H. (1971) Infra-red spectra of photochromic sodalites. *J. Phys. Chem. Solids.* **32**, 2021–2026.
- Vance E.R., Gregg D.J., Karatchevtseva I., Davis J., Ionescu M. (2014) He and Au ion radiation damage in sodalite,  $\text{Na}_4\text{Al}_3\text{Si}_3\text{O}_{12}\text{Cl}$ . *J. Nucl. Mater.* **453**, 307–312.
- Zilio S.C., Bagnato V.S. (1984) Infrared spectra of natural sodalite. *J. Chem. Phys.* **88**, 1373–1376.